

# 水泥熟料与高爐矿渣的 岩相檢驗

H.A.托罗波夫教授 著  
O.M.阿斯特列耶娃

建筑工程出版社

國立全蘇水泥工业科学研究院論文集

水泥熟料与高爐矿渣  
的岩相檢驗

楊 璋 蘇宜詵譯

建筑工程出版社出版

• 1958 •

## 內容提要

本书闡明波特兰水泥熟料及高爐矿渣岩相研究方法的原理，叙述了矿物的主要特征及光学性质、显微镜构造、矿物的显微镜检验方法，以及在生产条件下对熟料和矿渣进行岩相检验的组织工作等方面最重要的知識。

\*本书可供建筑材料、建筑及冶金企业的工厂化驗室工作人员及工程技术人员应用。

## 原本說明

书 名 ПЕТРОГРАФИЧЕСКИЙ КОНТРОЛЬ ПОРТАЛАНДЦЕМЕНТНОГО КЛИНКЕРА и ДОМЕННОГО ШЛАКА

著 者 Н.А. Торопов, О.М. Астreeва

出 版 者 Промстройиздат

出版地点 及年份 Москва—1948

## 水泥熟料与高爐矿渣的岩相檢驗

楊 璞 苏宣謙 譯

---

1958年12月第1版

1958年12月第1次印刷

3,560册

787×1092 • 1/32 • 60千字 • 印張 2 5/8 • 定价(10) 0.36元

建筑工程出版社印刷厂印刷 • 新华书店发行 • 書号: 974

---

建筑工程出版社出版(北京市西郊百万庄)

(北京市書刊出版业营业許可証出字第052号)

## 目 录

序 言 .....	4
1. 矿物的主要特征.....	6
2. 矿物的光学性质.....	10
3. 显微镜的构造及使用规则.....	16
4. 在显微镜下测量颗粒的大小，统计矿物和确定 筛子的号码.....	24
5. 制备显微镜研究的试样.....	28
6. 显微镜研究的方法.....	32
7. 熟料矿物的特征.....	50
8. 高炉矿渣矿物的特征.....	57
9. 测定游离石灰的烏依特微量化学反应.....	61
10. 进行熟料分析的组织工作.....	62
11. 进行矿渣分析的组织工作.....	67
12. 矿物的系统描述.....	71
鉴定矿物的附表.....	78
岩相实验室的必要设备表.....	82

## 序 言

在几个斯大林五年計劃的年代里，苏联的水泥工业取得了巨大的成就。除了革新了旧水泥厂的技术装备和建筑了拥有近代设备的新的大型企业外，还显著地提高了水泥的质量。水泥工厂生产了高标号波特兰水泥及一系列新的特种水泥。

上述这些成就的获得，是由于祖国科学的巨大成就是在水泥化学及水泥岩相学范畴中起了很大的作用。

苏联学者（Д.С.別亮金院士，Н.Н.斯密爾諾夫教授，Н.А.托罗波夫教授，В.Н.容克教授，В.В.拉宾等）在人造矿物方面，在研究结晶条件及水化过程方面，以及在系統地研究工厂熟料的矿物組成和结构方面的工作，对水泥生产的理論及实践上都有巨大的貢献。

由于这样，在工厂化驗室的工作中，着手运用波特兰水泥熟料及高炉矿渣的岩相分析方法才成为可能。

工厂工作人員研究了熟料的显微结构及矿物組成，就能够获得有关工艺过程及在工艺过程中所发生問題的宝贵知識。因此岩相研究方法在进一步改进工艺过程，控制及提高水泥质量中起着很大的作用。

水泥科学研究院所发表的 Н.А. 托罗波夫教授和 О.М. 阿斯特列耶娃的著作是作者們多年来研究的总结，他們把說明熟料及矿渣岩相研究方法的原理作为自己的任务。

本书对于工厂工作人員是有益而实用的参考資料，广泛

地运用岩相分析方法会帮助他們在改进水泥生产工艺中得到新的成就。

水泥科学研究院院长

教授，工学博士 Б.Г. 斯克拉姆塔耶夫

科学部副主任

副教授，工学硕士 С.М. 洛雅克

## 1. 矿物的主要特征

在绝大多数的情况下，矿物都是结晶体，即：它们的特征是具有规则的内部结构，有一部分也具有规则的几何外形。例如：食盐结晶成立方体；石英结晶成两端为六方锥的六面柱体（图1）等。

水泥熟料及高炉矿渣中的矿物，也具有规则的几何结构，但是只有将熟料及矿渣制成显微镜研究所需的特殊薄片或磨光片来研究这些矿物的不同断面时，才能观察到它们的结构。矿物几何结构的规则性，在多数的情况下，首先表示在：这些断面具有规则的外形，例如：阿里特、氢氧化钙的六角片状体，或断面中常呈延长小柱体的铁铝酸四钙晶体等。其次，在许多矿物中可看到解理纹，云母类矿物尤其明显。

在熟料或矿渣的复杂矿物体中，各个晶体在成长过程中互相碰撞，通常不具有完全规则的外形，而形成粒状。虽然如此，它们的光性和其他性质却与规则的晶体一样。

因此，为了识别在显微断面上所观察到的晶体外形，还必须熟悉晶体在良好成长条件下发育时所生成的多棱外形。

一切结晶矿物根据它们的内部结构、外形及物理性质，分为六类或六个晶系。

1) **立方或等轴晶系** 晶体在均匀发育的情况下，在三个互相垂直的座标轴上的长短是一样的。如：立方体，八面



图1 石英晶体

体，菱形十二面体(图2)。属于立方晶系的矿物有：氧化钙—— $\text{CaO}$ ，方镁石—— $\text{MgO}$ ，尖晶石—— $\text{MgO}\cdot\text{Al}_2\text{O}_3$ ，铝酸三钙—— $3\text{CaO}\cdot\text{Al}_2\text{O}_3$ ，三铝酸五钙—— $5\text{CaO}\cdot3\text{Al}_2\text{O}_3$ 。

2) **六方晶系** 为六方板状体或柱体，有时是锥体或菱面体(图3)。晶体沿着一个方向伸长或相反地缩短。例如：阿里特 $3\text{CaO}\cdot\text{SiO}_2$ ，氢氧化钙 $\text{Ca}(\text{OH})_2$ ，石英 $\text{SiO}_2$ (见图1)，方解石(图4)等。

3) **正方晶系** 为正方柱体、正方板面或正方锥体(图5)，沿一个轴伸长或缩短。例如：矽铝酸二钙 $2\text{CaO}\cdot\text{Al}_2\text{O}_3\cdot\text{SiO}_2$ 。

4) **斜方晶系** 晶体在互成 $90^\circ$ 的三个轴上的长短不同，有锥体，柱体(图6)。例如：莫来石 $3\text{Al}_2\text{O}_3\cdot2\text{SiO}_2$ 。

5) **单斜晶系** 晶体在三个轴上的长短均不同，三轴中，二轴以斜角相交，而第三轴与它们垂直。有板面，柱体。例如：石膏 $\text{CaSO}_4\cdot2\text{H}_2\text{O}$ (图7)。

6) **三斜晶系** 三轴以斜角相交。有板面(图8)。例如：钙长石 $\text{CaO}\cdot\text{Al}_2\text{O}_3\cdot2\text{SiO}_2$ 。

在某些情况下，晶体本身相互间形成了双晶，即由各单独晶体以一定角度相互间有规律地连生在一起。石膏晶体形成极特殊的燕尾双晶(图9)。双晶的两半相接合的面称为双晶面。这个面被薄片断面所截的痕迹是直线——双晶纹。

若不只是由两个晶体，而是由更多晶体联结而形成的双晶，就称为复合双晶或聚片双晶(图10)。

在偏光下观察双晶结构时，它们具有特别清晰的形状(图11)。

**多晶转变** 某些结晶物质在温度改变时(加热或冷却)，改变了自己的晶形、结构、比重等。这个物质产生了新的结



图 2 立方晶系晶体  
立方体,八面体,菱形十二面体

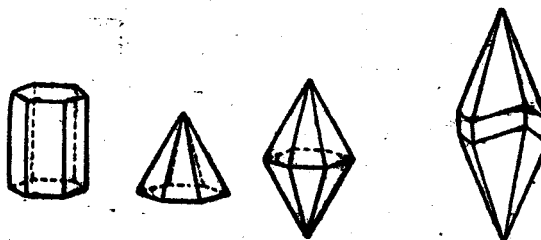


图 3 六方晶系晶体  
柱体,锥体,双锥体



图 4 方解石晶体

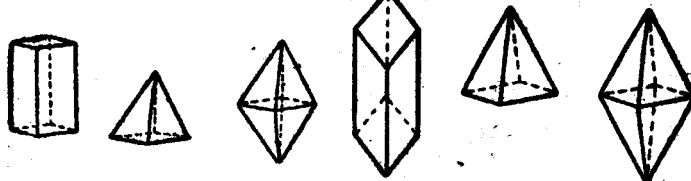


图 5 正方晶系晶体  
柱体,锥体,双锥体

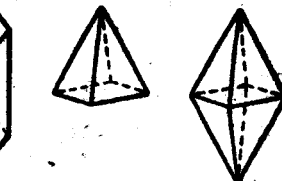


图 6 斜方晶系晶体  
柱体,锥体,双锥体



图 7  
单斜晶系晶体



图 8  
三斜晶系晶体



图 9  
石膏双晶



图 10  
聚片双晶



图 11 偏光下，聚片双晶的显微照相，放大90倍

晶形或多晶变型。结晶物质本身的轉变称之为多晶轉变現象。在許多情况下，它引起物质的密度显著地改变，以致在晶体中发生內应力，最后終於形成裂縫或甚至使物质完全破坏。例如：将石英晶体加热时，在 $575^{\circ}\text{C}$ 发生了轉变，使石英晶体裂开。观察矽酸二鈣，也有同样的现象，因此，含有这种矿物的某些波特兰水泥熟料及碱性高炉矿渣会自动分散成細粉末。

在較高溫度下稳定的变型，通常称为  $\alpha$ -变型。如： $\alpha\text{-CaO}\cdot\text{SiO}_2$  在它的熔点  $2130^{\circ}\rightarrow 1435^{\circ}$  的范围内稳定，在  $1435^{\circ}$  时它轉变为  $\beta$ -变型。在  $670^{\circ}$ ， $\beta$ -变型又轉变为  $\gamma$ -变型。与后者轉变的同时，物质的体积增加了10%，并引起矽酸二鈣如上所述地自动分散。必須指出，由于过冷現象，这种轉变和相应的分散甚至在較低的溫度下也会发生。

再举一个例子。偏矽酸鈣形成两个变型： $\alpha\text{-CaO}\cdot\text{SiO}_2$  (假矽灰石) 及  $\beta\text{-CaO}\cdot\text{SiO}_2$  (矽灰石)，其轉变溫度是  $1150^{\circ}\text{C}$ 。借助于显微鏡研究所确定的特征，可以容易地区别并各种

变型。

**固溶体及混合晶体** 固态物质与液态相似，可以互相溶解。有色的石英晶体(紫色石英——紫水晶、烟晶)以及呈浅蓝色及红色的岩盐晶体等可作为这些固溶体的例子。固态物质互溶所得到的晶体称为混合晶体，而生成混合晶体的物质，处于固溶体状态。例如：氧化镁可溶解氧化铁  $\text{FeO}$  及  $\text{Fe}_2\text{O}_3$ ，依据溶解氧化铁的量而呈浅黄色或暗黄色。特别是在所谓同晶现象情况下，结晶构造彼此相近的物质(如：碳酸盐，不同成分的尖晶石等)在彼此相混(互相溶解)时，生成了浓固溶体。混晶的生成通常使晶体同时发生一系列的光性变化，并且这个变化与固溶体组成部分的含量成比例。

有时当生成固溶体时，在结晶过程中，晶体中心与边缘部分的含量不同，而生成了十分特殊的所谓分区晶体。

研究磨光片中波特兰水泥熟料的结构时，在某些情况下，可看到波特兰水泥熟料的主要矿物——阿里特晶体——具有同样的分区结构，这说明它是有些不均匀的。

混晶的生成可防止高温变型  $\beta\text{-}2\text{CaO}\cdot\text{SiO}_2$  转变为低温变型  $\gamma\text{-}2\text{CaO}\cdot\text{SiO}_2$ ，因而也就防止含有大量矽酸二钙的物质发生上述的分散。磷、硼、锰、铬、钼等的化合物可用来作为溶质。在制造白云石耐火砖时，为了防止因结晶的  $2\text{CaO}\cdot\text{SiO}_2$  由  $\beta$ 型转变为  $\gamma$ 型而引起分散，实际上要加入这些物质。

## 2. 矿物的光学性质

光在矿物中透射或折射所引起的现象对显微镜分析来说

有着十分重要的意义，所以需要比較詳細地來討論矿物的光学性质。

光传播的速度与光綫所通过的介质的密度有关。光在光性較密的介质中传播的速度比在光性較疏的介质中要小些，所以当光綫从一种密度的介质进入到另一种密度的介质时，就要发生折射及反射现象。

**光的折射** 当光綫从光性密度較小的介质I进入到光性密度較大的介质II时(图12)，要发生折射。入射光綫与介质I、II面的垂綫所夹的入射角 $i$ 和折射光綫与該垂綫延长綫所夹的折射角 $r$ 之間存在着一定的比例关系，而与这些角的絕對值无关。这个关系可以用公式 $\frac{\sin i}{\sin r} = N = \frac{v_1}{v_2}$ 表示，即这个比值等于入射介质中的光速与折射介质中的光速之

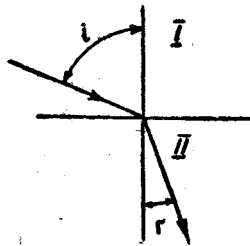


图 12 从較疏介质进入較密介质时光綫的折射

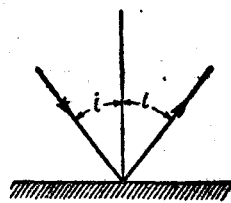


图 13 光的全内反射

比。因为光速之比与入射角和折射角①的大小无关，那么很显然，对这一对介质來說，N为一常数，称为折射率。对每一矿物來說折射率都是一个十分重要的特性常数。所以在岩相分析上，测定矿物的折射率有着重要的意义。

① 原文爲“反射角”系爲“折射角”之誤——譯注。

当光线从密度較大的介质进入密度較小的介质时，折射角大于入射角，所以当入射角达到某一临界值时，折射角等于 $90^\circ$ ，光线在二个介质的分界面上发生了全内反射(图13)。入射角大于临界值时，如光线从水进入空气，或从玻璃进入空气，或从玻璃进入任一折光較弱的液体时，均可观察到同样的现象。全内反射现象也应用到岩相分析上。

**光的双折射** 在不属于立方晶系的晶体中，除了有光线的折射现象外还能观察到光线分义或双折射的现象(图14)；

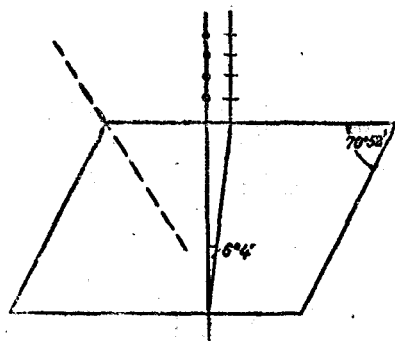


图 14 方解石晶体中光线的双折射

还在1669年在透明方解石的大晶体上(即所谓的冰洲石)就已初次发现了这一现象。

假如透过冰洲石的薄片观察任一点，那么可得到双象(图15)。

当光在任意方向通过方解石的透明晶体时，均可得到两种光，

光通过与晶体垂直轴相一致的那个方向是例外，沿着这个方向只有一条光线通过。沿着其余方向所透过的两条光中，一条符合光折射的一般定律，并在晶体中的各个方向上有相同的折射率，即以同一速度传播，这种光称为常光。第二种光改变折射率，当光线垂直于方解石晶体垂轴透过时，它的折射率最小，当平行于垂轴透过时，它的折射率最大，这种光称为非常光。随方向不同而改变折射率的介质称为各向异性介质以区别于在各个方向上有着同一折射率的各向同性介质。



图 15 转动晶体时方解石晶体的双折射

O—常光；E—非常光

**光的偏振** 如实验指出，双折射与折射光的偏振同时发生。偏振光和普通光的区别在于：偏振光，介质质点的振动（光线随着质点的振动而传播出去）只在一个平面上，而普通光线，质点在与光线传播方向相垂直的各个方向的平面上振动。

研究通过冰洲石晶体的光线，说明了无论常光或非常光均为偏振光（图16）。

**光线的复合或光的干涉** 偏振光在一个平面上振动，那么当两束光的偏振面相重合时，就要发生相互作用（或干涉）。

随着质点的振动同时有两束偏振面相重合的偏振光a及b传播着，这些质点的振动相互作用的结果与这些质点的振动曲线（表示质点在任一瞬间的振动状态）的相互位置有关。

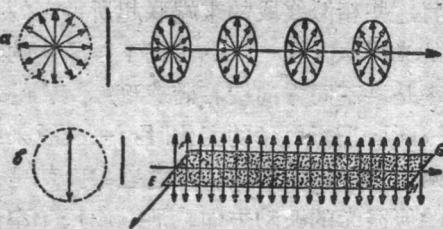


图 16

a—普通光的振动；b—偏振光的振动

如果这些曲线的最高点与最低点的位置相同（图17），那

么偏振光的强度和光綫的亮度将增加；若最高点与最低点的位置相反，那么光綫的亮度将减弱(图18)，并且当振动着的质点离开零点位置的距离相等时，一束光綫将完全为另一束光綫所抵消(图19)。

在偏光显微鏡下研究矿物时，在某些情况下也利用两束偏振光的干涉和复合现象。

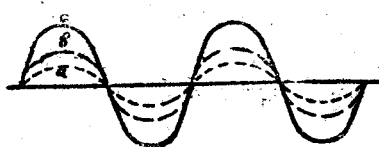


图 17 光波干涉时，光亮度的增强



图 18 光波干涉时，亮度的减弱



图 19 光波干涉时，光相互抵消  
率，那么将这些相似綫段的末端联起所得到的共同的面，就是該晶体的光率体。在一般的情况下，晶体的光率体是椭球形。折射率是沿不同方向按着椭球形而变化的球，并且在研究晶体任一断面上折射率的变化时，一般說来，我們可得到一个具有两个主半軸的椭圆。而这些半軸就是与晶体該断面垂直传播的偏振光的振动方向。所以应用光率体能够很容易来理解光綫透过晶体时所发生的一切现象。

根据内部结构，晶体的光率体可分为三种类型：

1) 斜方、单斜及三斜晶体的光率体的略图如图20所

**晶体光学性质的一般特征** 在不同晶系的晶体中，上述光綫传播的特点可用指示面或光率体以最明显的模型表示出来。

假若想像在晶体中心有一光点作为光綫传播的点源，从这一点沿着不同方向繪置綫段，这些綫段按一定的比例尺来表示这些光綫的折射率，那么将这些相似綫段的末端联起所得到的共同的面，就是該晶体的光率体。在一般的情况下，晶体的光率体是椭球形。折射率是沿不同方向按着椭球形而变化的球，并且在研究晶体任一断面上折射率的变化时，一般說来，我們可得到一个具有两个主半軸的椭圆。而这些半軸就是与晶体該断面垂直传播的偏振光的振动方向。所以应用光率体能够很容易来理解光綫透过晶体时所发生的一切现象。

示。在这种情况下椭球体有三个不同的半轴  $N_g$ 、 $N_m$ 、 $N_p$ ，及两个半径等于  $N_m$  的圆截面。垂直通过圆截面的光綫无双折射，而这些光也不是偏振的。

垂直于圆截面的方向称为晶体的光軸。以所述光率体为特征的这三个晶系的晶体是光学上的二軸晶。

二軸晶的特征是它們的二个光軸位于光率体的截面上，該截面同时包含最大折射率  $N_g$  及最小折射率  $N_p$ 。这个截面称为二軸晶的光軸面。

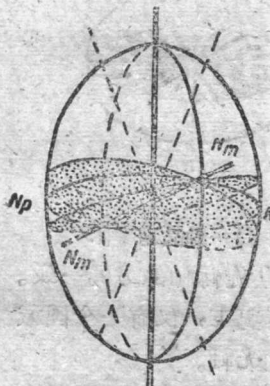
我們將二軸晶分为两类：假如

图 20 正双軸晶体的光率体  $N_g$  平分二光軸間的銳角，那么称为正光性的二軸晶，假若是  $N_p$  平分这个銳角，那么就属于負光性的二軸晶。光軸間的夹角通常以符号  $2V$  来表示。在晶軸相互垂直的斜方晶体中，显然，这些晶軸与光率体的  $N_g$ 、 $N_m$ 、 $N_p$  的方向永远一致。

在二个晶軸相互垂直，而第三晶軸与它們傾斜的单斜晶体中，仅沿着一个晶軸相一致。最后在晶軸斜交的三斜晶体中，一般說來，椭球体的軸( $N_g$ 、 $N_m$ 、 $N_p$ )与晶体的几何軸不一致。

2) 六方晶系和正方晶系晶体的光率体是一个椭圓围绕其长軸(图21)或短軸(图22)旋转所得之旋转椭球体。

在同一椭球体的任一断面上，我們始終得到一个具有定值的半軸。这个值与它的折射率相适应。在一切断面上这个固定的折射率以符号  $N_0$  来表示。第二个折射率的大小随着从一个断面換到另一个断面而改变，以符号  $N_e$  来表示。



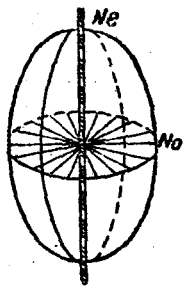


图 21 正一軸晶光率体

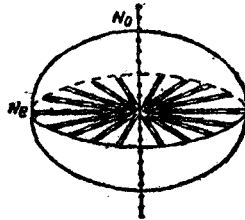


图 22 負一軸晶光率体

相似类型椭球体的半轴  $N_e$  显然与其旋转轴的方向一致。圆截面垂直于  $N_e$ 。这样在这种情况下，仅有一个圆截面，因之，只有一个与圆截面相垂直的光轴。

所以六方晶系和正方晶系的晶体在光性上說是一軸晶。

与二軸晶分为正负光性的情况一样，我們将一軸晶也分为正光性与负光性的晶体。凡  $N_e$  大于  $N_o$  时，是正一軸晶（光率体是长椭球体），而  $N_o$  大于  $N_e$  时，是负一軸晶（光率体是扁椭球体）。

3) 在立方晶系的晶体中，折射率不随光线透过晶体的方向而改变，光率体是球形。所以在立方晶系的晶体中，观察不到双折射现象。

### 3. 顯微鏡的構造及使用規則

不同类型和不同构造的显微鏡都是进行岩相分析的主要工具。

由于熟料及矿渣中各个矿物的颗粒很小，所以确定波特兰水泥熟料及高炉矿渣的结构和矿物組成时，一定要用显微